

IDŹ DO

PRZYKŁADOWY ROZDZIAŁ



SPIS TREŚCI

KATALOG KSIĄŻEK

KATALOG ONLINE

ZAMÓW DRUKOWANY KATALOG

TWÓJ KOSZYK

DODAJ DO KOSZYKA

CENNIK I INFORMACJE

ZAMÓW INFORMACJE
O NOWOŚCIACH

ZAMÓW CENNIK

CZYTELNIA

FRAGMENTY KSIĄŻEK ONLINE

Perełki programowania gier. Vademecum profesjonalisty. Tom 2

Autor: Mark DeLoura

Tłumaczenie: Rafał Jońca

ISBN: 83-7197-837-5

Tytuł oryginału: [Game Programming Gems 2](#)

Format: B5, stron: 608



Jeśli zajmujesz się lub zamierzasz się zająć programowaniem gier komputerowych, nie odkładaj tej książki na półkę. Znajdziesz w niej siedemdziesiąt rozwiązań rozmaitych problemów, przed którymi staje programista gier. Są to rozwiązania do natychmiastowego zastosowania lub pomysły, które mogą znacznie zredukować nakład pracy. Ich autorami są najwybitniejsi autorzy gier, współtwórcy wielu prawdziwych hitów. Dość powiedzieć, że redaktorami książki „Perełki programowania gier” są pracownicy firm takich jak Nintendo czy NVidia Corporation.

Autorzy postarali się, by przedstawiane przez nich perełki ukazywały praktyczne techniki programistyczne, możliwe do osiągnięcia przy użyciu aktualnie stosowanych technologii i pomagające przy pisaniu gier komputerowych. Przykładowe kody źródłowe opierają się na uznanych standardach: językach C i C++, interfejsy OpenGL i DirectX i nieodzownym, gdy chcemy uzyskać maksymalną wydajność asemblerze procesorów x86.

Porady i rozwiązania podzielone są na 6 części:

- Programowanie ogólne
- Matematyka
- Sztuczna inteligencja
- Zarządzanie geometrią
- Grafika
- Programowanie dźwięku

Dołączony CD-ROM zawiera wszystkie kody źródłowe z książki, demo wielu przedstawionych technik, bibliotekę DirectX 8, instalator glSetup, bibliotekę narzędzi GLUT, obrazy z kolorowej wkładki w wysokiej rozdzielczości.



Spis treści

Podziękowania	15
O obrazku z okładki	16
Biografie Autorów	17
Przedmowa	31
Część I Programowanie ogólne	35
Wprowadzenie	37
Rozdział 1.1 Optymalizacja kodu w języku C++ w grach.....	39
Konstrukcja i destrukcja obiektu	39
Zarządzanie pamięcią	42
Funkcje wirtualne	43
Rozmiar kodu.....	45
Biblioteka STL.....	45
Zaawansowane funkcje.....	47
Dodatkowa lektura	48
Rozdział 1.2 Rozwijanie funkcji w miejscu wywołania kontra makra	49
Zalety funkcji inline.....	49
Kiedy należy używać funkcji inline.....	51
Kiedy należy używać makr	51
Dodatki w kompilatorze Microsoftu.....	52
Bibliografia	52
Rozdział 1.3 Programowanie z wykorzystaniem abstrakcyjnych interfejsów	53
Abstrakcyjny interfejs.....	53
Dodawanie fabryki.....	55
Abstrakcyjne klasy jako zbiory cech	56
Wszystko ma swoją cenę	59
Wnioski	59
Bibliografia	60
Rozdział 1.4 Eksport klas C++ z bibliotek DLL.....	61
Eksport funkcji.....	61
Eksport klasy.....	61
Eksport funkcji członkowskich klasy	63
Eksport funkcji wirtualnych klasy	63
Podsumowanie	64

Rozdział 1.5	Zabezpiecz się przed piekłem bibliotek DLL i brakujących funkcji systemu operacyjnego	65
	Łączenie jawne i niejawne	66
	Funkcje LoadLibrary i GetProcAddress	66
	Obrona przed błędnymi bibliotekami DirectX	67
	Funkcje specyficzne dla systemu operacyjnego	68
	Podsumowanie	69
Rozdział 1.6	Dynamiczna informacja o typie	71
	Wprowadzenie do klasy dynamicznej informacji o typie	71
	Demaskowanie typu i odpytywanie DTI	72
	Dziedziczenie oznacza „jest typu”	73
	Obsługa ogólnych obiektów	74
	Implementacja trwałej informacji o typie	75
	Zastosowanie trwałej informacji o typie w bazie danych zapisów stanu gry	77
	Wnioski	77
	Bibliografia	78
Rozdział 1.7	Klasa właściwości umożliwiająca ogólny dostęp do członków klas C++	79
	Kod	80
	Inne możliwe wykorzystania klas	82
	Bibliografia	83
Rozdział 1.8	Fabryka jednostek w grze	85
	Komponenty	86
	Klasy waga piórkowa, zachowań i eksportowa	86
	Obiekty wagi piórkowej	86
	SAMM-y, gdzie jesteś?	87
	Hierarchia klas zachowań	88
	Wykorzystanie wzorca szablonu metod w przypisywaniu zachowań	89
	Klasy eksportowe	90
	Fabryka jednostek	91
	Wybór strategii w trakcie działania programu	92
	Uwagi końcowe	94
	Bibliografia	94
Rozdział 1.9	Dodawanie klasy informującej o niezalecanych funkcjach w C++	95
	Możliwe rozwiązania	95
	Idealne rozwiązanie	96
	Używanie i przypisywanie niezalecanych funkcji	96
	Implementacja niezalecania funkcji w C++	97
	Co można poprawić?	98
	Podziękowania	98
	Bibliografia	98
Rozdział 1.10	Menedżer pamięci pomocny przy testowaniu gry	99
	Zaczynamy	99
	Rejestracja informacji w menedżerze	100
	Raportowanie zebranych informacji	102
	O czym należy pamiętać	104
	Możliwe rozszerzenia	105
	Bibliografia	105

Rozdział 1.11	Moduł profilujący wbudowany w grę	107
	Podstawy profilowania programów	107
	Komercyjne narzędzia	108
	Czemu utworzyć własny system?	109
	Wymagania dotyczące modułu profilującego.....	109
	Architektura i implementacja.....	110
	Szczegóły implementacji	111
	Analiza danych	111
	Uwagi dotyczące implementacji	112
Rozdział 1.12	Model programowania liniowego w grach w systemie Windows	113
	Aktualizacja świata	113
	Rozwiązanie — wielowątkowość	114
	Bibliografia	117
Rozdział 1.13	Nawijanie stosu	119
	Prosty tymczasowy powrót	119
	Łańcuchy tymczasowych powrotów	120
	Thunking	122
	Rekurencja	123
Rozdział 1.14	Samomodyfikujący się kod	125
	Zasady kodu RAM	125
	Szybkie przekształcanie i kopiowanie bitów	126
Rozdział 1.15	Zarządzanie plikami z wykorzystaniem plików zasobów	133
	Czym jest plik zasobów?	133
	Projekt	134
	Implementacja.....	135
	Ostatnie słowa na temat implementacji	137
	Wnioski	137
	Bibliografia	137
Rozdział 1.16	Odtwarzanie i rejestrowanie wejść gry	139
	Do czego może się przydać rejestracja wejść?	139
	Ile to zajmie?	141
	Testowanie rejestracji wejścia	145
	Wnioski	145
	Bibliografia	145
Rozdział 1.17	Elastyczny system analizy składniowej tekstu	147
	System analizy składniowej	148
	Makra, nagłówki i magia wcześniejszego przetwarzania	148
	Wyjaśnienie systemu analizy składniowej	149
	Klasa TokenFile	152
	Uwagi końcowe	153
Rozdział 1.18	Interfejs uniwersalnego modyfikatora wartości zmiennych.....	155
	Analiza wymagań	155
	Implementacja.....	156
	Użycie	160
	Uwagi	162
	Podziękowania	162
Rozdział 1.19	Generacja rzeczywiście losowych liczb	163
	Pseudolosowość	163
	Rzeczywista losowość	164

	Źródła losowych wartości	164
	Źródła sprzętowe	165
	Funkcja mieszająca	165
	Ograniczenia	166
	Implementacja	166
	Jak losowe wartości uzyskujemy z GenRand?	167
	Bibliografia	168
Rozdział 1.20	Wykorzystanie filtrów Blooma	
	do poprawienia wydajności obliczeniowej	169
	Sposób Blooma	169
	Możliwe zastosowania	170
	Jak to działa?	170
	Definicje	170
	Pierwszy przykład	171
	Drugi przykład	175
	Uwagi końcowe	175
	Wnioski	176
	Bibliografia	176
Rozdział 1.21	Moduł eksportujący postacie z programu 3D Studio MAX	
	i narzędzia dotyczące animacji	177
	Eksport	178
	Bibliografia	187
Rozdział 1.22	Wykorzystanie kamer internetowych w grach wideo	189
	Inicjalizacja okna przechwytywania danych z kamery	189
	Manipulacja danymi z kamery	194
	Wnioski	197
	Bibliografia	198
	Część II Matematyka	199
	Wprowadzenie	201
Rozdział 2.1	Sztuczki z liczbami zmiennoprzecinkowymi	
	— poprawa wydajności w standardzie IEEE	203
	Wprowadzenie	203
	Format IEEE liczb zmiennoprzecinkowych	204
	Sztuczki liczb zmiennoprzecinkowych	205
	Liniowa tablica przeglądowa dla funkcji sinus i kosinus	210
	Optymalizacja logarytmiczna pierwiastka kwadratowego	212
	Optymalizacja dowolnych funkcji	213
	Mierzenie wydajności	216
	Wnioski	217
	Bibliografia	217
Rozdział 2.2	Sztuczki z wektorami i płaszczyznami	219
	Wysokość względem płaszczyzny kolizji	219
	Szukanie punktu kolizji	220
	Odległość do punktu zderzenia	221
	Odbicie od płaszczyzny kolizji	222
	Zderzenia z tłumieniem	225
	Interpolacja w poprzek linii lub płaszczyzny	225

Rozdział 2.3	Szybkie i elastyczne przecinanie trójwymiarowych linii.....	227
	Co czyni ten algorytm elastycznym?.....	228
	Sformułowanie problemu	228
	Wyprowadzenie równań zwięzłego rozwiązania.....	230
	Obsługa odcinków	236
	Opis implementacji.....	239
	Możliwości optymalizacji.....	239
	Wnioski.....	240
	Bibliografia	240
Rozdział 2.4	Określanie odwrotnej trajektorii	241
	Szczególne przypadki	243
	Optymalizacja implementacji	248
	Podsumowanie	249
Rozdział 2.5	Ramka transportu równoległego.....	251
	Metoda	252
	Wnioski.....	255
	Bibliografia	255
Rozdział 2.6	Gładkie ścieżki C^2 bazujące na kwaternionach.....	257
	Wprowadzenie	257
	Interpolacja położenia.....	258
	Interpolacja obrotu	259
	Kierunek obrotu i selektywna negacja.....	260
	Interpolacja krzywymi sklejanymi dla kwaternionów	261
	Osobliwości w wymiernym przekształceniu	262
	Cięcia kamery	262
	Kod.....	263
	Bibliografia	263
Rozdział 2.7	Rekurencyjne grupowanie wymiarami — szybki algorytm detekcji zderzeń.....	265
	Inne zastosowania	266
	Słaby punkt algorytmu.....	270
	Znajdowanie par będących w kolizji	271
	Złożoność czasowa	273
	Wnioski.....	274
	Bibliografia	274
Rozdział 2.8	Programowanie fraktali	275
	Fraktal plazmowy	276
	Fraktal błędny	276
	Fraktal ruchu Browna	277
	Implementacja.....	278
	Wykorzystanie FBM.....	281
	Bibliografia	282
Część III Sztuczna inteligencja		283
	Wprowadzenie	285
Rozdział 3.1	Strategie optymalizacji sztucznej inteligencji.....	287
	Strategia 1.: Używaj zachowania sterowanego zdarzeniami, a nie odpytywania.....	287
	Strategia 2.: Redukuj niepotrzebne obliczenia	288
	Strategia 3.: Centralizuj współdziałanie za pomocą zarządców	289

	Strategia 4.: Rządziej uruchamiaj sztuczną inteligencję.....	289
	Strategia 5.: Rozłóż przetwarzanie na kilka klatek.....	290
	Strategia 6.: Wprowadź poziomy szczegółowości sztucznej inteligencji.....	290
	Strategia 7.: Rozwiązuj tylko część zagadnienia.....	291
	Strategia 8.: Najcięższą pracę wykonuj poza pętlą czasu rzeczywistego.....	291
	Strategia 9.: Używaj pojawiających się zachowań, by unikać skryptów.....	292
	Strategia 10.: Amortyzuj koszty odpytywań za pomocą ciągłego księgowania.....	292
	Strategia 11.: Jeszcze raz przeanalizuj problem.....	293
	Wnioski.....	293
	Bibliografia.....	294
Rozdział 3.2	Mikrowątki sztucznej inteligencji obiektu gry.....	295
	Prostszy sposób.....	297
	Mikrowątki.....	297
	Zarządzanie stosem.....	299
	Problemy.....	300
	Wniosek.....	301
	Bibliografia.....	301
Rozdział 3.3	Zarządzanie sztuczną inteligencją za pomocą mikrowątków.....	303
	Kawałek po kawałku.....	303
	Dobre zachowanie.....	304
	Wszystko jest w umyśle.....	305
	Problemy.....	307
	Wnioski.....	309
	Bibliografia.....	310
Rozdział 3.4	Architektura kolejkowania poleceń w grach RTS.....	311
	Polecenia gier RTS.....	311
	Kolejkowanie poleceń.....	312
	Polecenia cykliczne.....	313
	Wnioski.....	316
	Bibliografia.....	316
Rozdział 3.5	Wysokowydajny system widoczności i wyszukiwania oparty na siatkach.....	317
	Ogólne przedstawienie zagadnienia.....	317
	Definicje.....	318
	Komponent 1.: Mapy widoczności dla poszczególnych graczy.....	319
	Komponent 2.: Szablony linii widoczności.....	319
	Komponent 3.: Połączona mapa widoczności.....	321
	Usprawnione wyszukiwanie.....	322
	Wnioski.....	324
Rozdział 3.6	Mapy wpływu.....	325
	Mapy wpływu.....	325
	Prosta mapa wpływu.....	326
	Dane komórki mapy wpływu.....	327
	Obliczanie potrzebnych wartości.....	328
	Określanie optymalnego rozmiaru komórki.....	330
	Rozchodzenie się wpływów.....	330
	Branie pod uwagę kształtu terenu.....	331
	Szczególne okoliczności.....	333
	Odświeżanie mapy wpływu.....	333
	Mapy wpływu w trójwymiarowych środowiskach.....	334
	Bibliografia.....	335

Rozdział 3.7	Techniki oceny strategicznej.....	337
	Drzewo przydziału zasobów.....	337
	Obliczanie pożądanego przydziału.....	339
	Określanie aktualnego przydziału.....	339
	Podejmowanie strategicznych decyzji.....	340
	Miary wartości.....	341
	Graf zależności.....	341
	Węzły grafu zależności.....	342
	Ekonomiczne planowanie.....	342
	Znajdowanie czułych zależności.....	343
	Wnioskowanie strategiczne.....	343
	Osobowość postaci.....	344
	Łączymy wszystko razem.....	345
	Bibliografia.....	345
Rozdział 3.8	Analiza terenu w trójwymiarowych grach akcji.....	347
	Reprezentacja terenu, która pozwoli go zrozumieć i przeanalizować.....	348
	Punkty kontrolne.....	348
	Przykładowy teren i potrzeby sztucznej inteligencji.....	349
	Analiza taktyczna.....	349
	Od wartości taktycznych do właściwości punktów kontrolnych.....	350
	Obliczanie właściwości punktów kontrolnych.....	351
	Wiedza płynąca z doświadczenia zdobywanego w trakcie gry.....	354
	Umieszczanie analizy terenu w grze.....	354
	Inne zastosowania.....	355
	Wnioski.....	356
	Bibliografia.....	356
Rozdział 3.9	Rozszerzona geometria dla znajdowania drogi metodą punktów widzialności.....	357
	Definiowanie modelu zderzeń.....	358
	Znajdowanie drogi między wielokątami.....	358
	Rozszerzaj i zwyciężaj.....	359
	Suma Minkowskiego dla wypukłych wielokątów.....	359
	Rozszerzanie niewypukłej geometrii.....	361
	Dobór kształtu zderzenia.....	362
	Wnioski.....	363
	Bibliografia.....	363
Rozdział 3.10	Optymalizacja znajdowania drogi metodą punktów widoczności	365
	Znajdowanie drogi za pomocą punktów widoczności.....	366
	Przechowywanie najkrótszej ścieżki do każdego punktu.....	366
	Łączenie narożników.....	367
	Optymalizacja 2.: Rozważaj tylko ścieżki idące wokół narożników.....	368
	Strefy zarysu.....	368
	Używanie stref zarysu z podziałem przestrzeni.....	370
	Wnioski.....	370
	Bibliografia.....	371
Rozdział 3.11	Stada z zębami: drapieźnicy i ofiary.....	373
	Całkowicie nowy świat.....	374
	Stada z zębami.....	377
	Ograniczenia i możliwe rozszerzenia.....	377
	Bibliografia.....	378

Rozdział 3.12	Ogólny automat stanów rozmytych w języku C++	379
	Dlaczego warto używać FuSM w grach?	380
	Jak używać FuSM w grze?	381
	Krótkie wprowadzenie do ogólnego automatu stanów skończonych z pierwszego tomu	381
	Dostosowywanie oryginalnego automatu do FuSM w C++	382
	Teraz dodaj logikę rozmytą do własnych gier!	383
	Bibliografia	383
Rozdział 3.13	Zmniejszanie eksplozji kombinacji w systemach rozmytych	385
	Problem	385
	Rozwiązanie	386
	Konkretny przykład	388
	Konkretny przykład w metodzie Combsa	390
	Wnioski	392
	Bibliografia	392
Rozdział 3.14	Używanie sieci neuronowych w grach — konkretny przykład	393
	Gra	393
	Wielowarstwowy perceptron	394
	Dobór wejść	395
	Zbieranie danych	396
	Trenowanie MLP	397
	Wyniki	398
	Wnioski	399
	Bibliografia	399
Część IV Zarządzanie geometrią		401
	Wprowadzenie	403
Rozdział 4.1	Porównanie metod VIMP	405
	Czynniki	405
	„Czysta” metoda VIMP	407
	Paski pomijane	410
	Wielopoziomowe paski pomijane	411
	Tryb mieszany VIMP	413
	Tryb mieszany pasków pomijanych	414
	Przesuwane okno	414
	Podsumowanie	418
	Bibliografia	418
Rozdział 4.2	Upraszczanie terenu za pomocą zazębienia kratki	419
	Zabawa z kratkami	420
	Tworzenie mapy	421
	Szablony kratki	422
	Brzydko, brzydko, brzydko	422
	Lepiej, szybciej, silniej	424
	Wnioski	424
	Bibliografia	425
Rozdział 4.3	Drzewa kul dla szybkiego określania widoczności, raytrackingu i wyszukiwania zakresowego	427
	Kule otaczające	427
	Używanie drzew kul	428
	Przykładowa aplikacja	429

Rozdział 4.4	Skompresowane drzewa sześciątów otaczających równoległych do osi	431
	Krótki przegląd sposobów hierarchicznego sortowania	431
	Drzewa AABB	432
	Tworzenie drzew AABB	433
	Kompresja drzew AABB	433
	Aproksymacja wymiarów	434
	Wykorzystywanie rekurencji	435
	Wydajność w trakcie działania	435
	Dalsze rozszerzenia	436
	Bibliografia	436
Rozdział 4.5	Przeszukiwanie drzewa czwórkowego o bezpośrednim dostępie	437
	Gdzie idzie wydajność	438
	Usuwanie pośredników	439
	Warunki i wymagania	439
	Określanie poziomu drzewa	440
	Dostosowywanie do sytuacji	442
	Określanie położenia	443
	Przemieszczanie się po drzewie czwórkowym	444
	Dostosowywanie drzewa czwórkowego	444
Rozdział 4.6	Aproksymacja załamania w akwariach	445
	Obserwacja akwarium	445
	Poprawa realizmu	448
	Wniosek	448
Rozdział 4.7	Renderowanie zrzutów ekranowych o rozdzielczości nadającej się do druku	449
	Podstawowy algorytm	450
	Uwagi i ewentualne problemy	452
	Zakończenie	452
	Bibliografia	452
Rozdział 4.8	Stosowanie śladów dla dowolnych powierzchni	453
	Algorytm	453
	Przycinanie trójkątów	455
	Implementacja	456
	Bibliografia	456
Rozdział 4.9	Rendering odległej sceny jako tło	459
	Podstawowa metoda	459
	Rozdzielczość tła	459
	Rozmiar sześcianu tła	460
	Rendering sceny	461
	Sześcienne mapowanie środowiska	461
	Tworzenie tekstur tła	462
	Wniosek	462
	Kod źródłowy	462
Rozdział 4.10	Postacie rzucające na siebie cień	463
	Wcześniejsze metody	463
	Podział geometrii postaci	463
	Rendering tekstury	464
	Rendering postaci	464
	Wniosek	465
	Bibliografia	465

Rozdział 4.11	Sterowanie i animacja z pozycji trzeciej osoby w grze Super Mario 64	467
	Ustawienia	467
	Konwersja wejścia kontrolera.....	468
	Obrót postaci.....	469
	Przesuwanie postaci.....	470
	Animacja postaci.....	471
	Analiza animacji Super Mario 64	473
	Wniosek	474
	Bibliografia	474
Część V Wyświetlanie grafiki		475
	Wprowadzenie	477
Rozdział 5.1	Rendering kreskówek — wykrywanie i rendering krawędzi sylwetki w czasie rzeczywistym.....	479
	Twórca zarysów	479
	Ważne krawędzie	480
	Metody wykrywania krawędzi sylwetki	481
	Wyciąganie rysunku w tuszu bazujące na krawędziach	481
	Wyciąganie rysunku w tuszu za pomocą programowanego shadera wierzchołków	483
	Wyciąganie rysunku w tuszu za pomocą zaawansowanych funkcji tekstur.....	485
	Wniosek	486
	Bibliografia	486
Rozdział 5.2	Rendering kreskówek za pomocą mapowania tekstur i programowanych shaderów wierzchołków.....	487
	Cieniowanie w kreskówkach	487
	Malowanie	488
	Programowane shadery wierzchołków	491
	Wniosek	493
	Bibliografia	493
Rozdział 5.3	Metody dynamicznego oświetlenia dla pikseli.....	495
	Trójwymiarowe tekstury w dynamicznym oświetlaniu.....	495
	Mapowanie nierówności dot3	498
	Normalizacja za pomocą map sześciennych.....	501
	Światła stożkowe bazujące na pikselach	502
	Bibliografia	503
Rozdział 5.4	Tworzenie proceduralnych chmur za pomocą kart graficznych z akceleracją 3D.....	505
	Właściwości chmur.....	505
	Generator liczb losowych	506
	Animacja oktawy szumu.....	508
	Mapowanie na geometrię nieba	511
	Dodatkowe funkcje	511
	Ograniczenia sprzętowe	512
	Uzyskiwanie większej uniwersalności.....	513
	Wnioski.....	513
	Bibliografia	514

Rozdział 5.5	Maskowanie tekstur w celu przyspieszenia rysowania efektu soczewki.....	515
	Zasłanianie efektu soczewki	515
	Problemy sprzętowe.....	516
	Maskowanie tekstur	518
	Uwagi co do wydajności.....	519
	Usprawnienia	520
	Przykładowy kod	520
	Alternatywne podejścia.....	521
	Bibliografia	521
Rozdział 5.6	Praktyczne cienie oparte na buforach priorytetowych.....	523
	Porównanie buforów priorytetowych z buforami głębi	525
	Rozwiązywanie problemów z aliasingiem	526
	Metody hybrydowe	528
	Podsumowanie	529
	Bibliografia	529
Rozdział 5.7	Oszuści — dodawanie śmieci	531
	Cały proces	532
	Rendering oszusta	532
	Heurystyka aktualizacji.....	536
	Wydajność	538
	Przewidywanie.....	538
	Podsumowanie	539
Rozdział 5.8	Działania w sprzęcie pozwalające na proceduralną animację tekstur	541
	Operacje sprzętowe.....	542
	Dalsza praca	551
	Podziękowania	552
	Przykładowy kod	552
	Bibliografia	552
Część VI Programowanie dźwięku.....		553
	Wprowadzenie	555
Rozdział 6.1	Wzorce projektowe w programowaniu dźwięku w grach.....	557
	Most	557
	Fasada	558
	Złożenie	559
	Pośrednik	559
	Dekorator	560
	Polecenie	560
	Pamiętka.....	561
	Obserwator.....	561
	Wielka kula błota (zwana także kodem spaghetti)	562
	Wniosek	563
	Bibliografia	563
Rozdział 6.2	Metoda natychmiastowego ponownego użycia głosów w synteźatorze bazującym na próbkach.....	565
	Problem.....	565
	Pomysł na rozwiązanie	566
	Rozwiązanie.....	567
	Wniosek	568

Rozdział 6.3	Programowe efekty DSP	569
	Filtrowanie	569
	Splot	570
	Opóźnienie	571
	Interpolacja	572
	Bibliografia	572
Rozdział 6.4	Interaktywny potok przetwarzania w cyfrowym dźwięku	575
	Wprowadzenie	575
	Dyskusja	578
	Kod	580
	Dodatkowy komentarz	583
	Wniosek	584
Rozdział 6.5	Prosty sekwenser muzyki dla gier	585
	Strumieniowanie kontra sekwencjonowanie	585
	Podstawowe koncepcje komputerowej muzyki	586
	Implementacja komputerowego sekwensera muzyki	589
	Sterowanie syntezą dźwięku	596
	Kod	596
	Wnioski	596
	Bibliografia	596
Rozdział 6.6	Sekwenser interaktywnej muzyki dla gier	597
	Powiązania muzyczne	597
	Znaczenie muzyki	598
	Przejścia	598
	Rodzaje przejść	598
	Czułość sterowania	601
	Sterowanie docelowe	601
	Przykłady projektów	602
	Kod	604
	Wniosek	604
	Bibliografia	605
Rozdział 6.7	Interfejs programistyczny niskiego poziomu dla dźwięku	607
	Podstawowe klasy	607
Dodatki		609
	Skorowidz	611

Rozdział 5.4

Tworzenie proceduralnych chmur za pomocą kart graficznych z akceleracją 3D

Kim Pallister, Intel

kim.pallister@intel.com

W wielu grach akcja rozgrywa się na zewnątrz budynków, a środowisko przypomina Ziemię. Z tego powodu realistyczny rendering terenu stał się jakby świętym Graalem dla wielu twórców gier. Niestety, na modelowanie nieba i chmur nie zwraca się tyle uwagi, ile się im należy. Chmury to przeważnie jedna lub dwie warstwy statycznych, przesuwanych tekstur. Na pierwszy rzut oka wszystko jest w porządku, ale po dłuższej chwili zauważamy ich powtarzalność, a po dniu grania zacznie nas ona nudzić.

W tym rozdziale zajmiemy się proceduralnie tworzonymi teksturami chmur, które posiadają pewne właściwości rzeczywistych chmur. Ponieważ tekstury przeważnie znajdują się w pamięci podsystemu graficznego, będziemy chcieli je generować prawie wyłącznie za pomocą procesora graficznego. Dodatkowo omówimy kilka modyfikacji techniki pod względem zmiany jakości i wydajności, by dostosować ją do różnych systemów.

Właściwości chmur

Dokładnie przyglądając się charakterystyce rzeczywistych chmur, stosunkowo łatwo można utworzyć listę posiadanych przez nie cech. Oczywiście, jak w każdej metodzie czasu rzeczywistego, będziemy musieli poświęcić kilka z tych funkcji na rzecz szybkości, ale tym będziemy się przejmować później.

Oto kilka spraw, które można zauważyć od razu:

- Chmury są animowane. Po niebie przesuwa je wiatr, ale to nie wszystko: ich kształt zmienia się lub „ewoluuje” w czasie (można to łatwo zauważyć na dowolnych zdjęciach wykonanych w stałych odstępach czasu). Co więcej, liczba chmur na niebie cały czas się zmienia. To rozważanie prowadzi nad do trzech zmiennych: szybkość symulacji, szybkość wiatru i dodatkowego elementu opisującego zachmurzenie.
- Mniejsze elementy zmieniają się szybciej od większych (dotyczy zmiany kształtu).
- Chmury wykazują ogromne samopodobieństwo w swojej strukturze.
- Poziom zachmurzenia zmienia się od pełnego do czystego nieba z tylko kilkoma odosobnionymi chmurkami (lub całkowitym ich brakiem). Gdy zmienia się zachmurzenie, wygląd chmur także ulega zmianie. Dla zachmurzenia chmury stają się szare i ciemne, a dla pogodnego nieba są białe z przebłyskami niebieskiego nieba.
- Chmury to trójwymiarowe istoty. Są oświetlane przez słońce z jednej strony, a cień rzucają z drugiej. W mniejszej skali jest jeszcze trudniej, ponieważ chmury rzucają cienie na inne chmury i odbijają promienie świetlne we wszystkich kierunkach.
- Chmury wyglądają całkowicie inaczej przy wschodzie i zachodzie słońca, ponieważ słońce oświetla je z boku, a w skrajnych przypadkach nawet z dołu.
- Chmury mają tendencję do pływania na wspólnej wysokości, formując warstwy. Czasem tych warstw jest kilka. Ponieważ warstwy te zachowują stałą wysokość nad krzywizną Ziemi, wykorzystamy tę krzywiznę w obliczaniu warstw chmur.

... a to tylko część spostrzeżeń obserwatora patrzącego z Ziemi. W grach takich jak symulator lotu, gdzie możemy wlatywać w chmury, pojawia się wiele dodatkowych trudnień. W tym rozdziale pozostaniemy na Ziemi.

Generator liczb losowych

Jak w przypadku prawie każdej proceduralnej tekstury, musimy zacząć od określenia generatora pewnego rodzaju szumu. Szum to termin używany do określenia czegoś, co jest z natury losowe. Szumem może być na przykład funkcja, która po podaniu szeregu liczb całkowitych (czyli 1, 2, 3...) utworzy pozornie losowy szereg wyników (na przykład 0,52, -0,13, -0,38...). Pozornie losowy, ponieważ dla takiego samego wejścia wyjściowe liczby zawsze będą takie same. Takie funkcje nazywamy pseudolosowymi, ponieważ stosując to same ziarno, możemy odtworzyć te same wyniki. Dodatkowo szum ma często określony wymiary (na przykład dwu- lub trójwymiarowy szum). Odnosi się do liczby wejść przekształcanych na losową wartość — tworzymy po prostu wielowymiarową tablicę. Jeden z wymiarów jest skalowany przez pewien stosunkowo duży czynnik (przeważnie liczbę pierwszą), aby zminimalizować możliwość powtarzania się ciągów liczb.

Tworzenie losowych (lub pseudolosowych) liczb to bardzo rozległy temat. Każde podejście to równowaga między złożonością funkcji a jakością wyników. Dobre generatory liczb losowych dobrze rozkładają losowe wartości po całym przedziale i nie powtarzają się przez bardzo długi czas.

Na szczęście na potrzeby tego rozdziału wystarczy bardzo prosty generator liczb losowych. Gdy poznasz dokładnie tę technikę, dowiesz się, że generator liczb losowych będziemy wywoływali kilka razy na piksel z różnymi wartościami ziarna. Połączenie wyników zamaskuje pojawiającą się powtarzalność.

Generator liczb pseudolosowych, od którego zaczniemy, przedstawia wydruk 5.4.1. Wykorzystuje on liczbę podaną jako parametr (x) w wielomianie, którego współczynniki są mnożone przez duże liczby losowe. W ten sposób uzyskujemy znacznie mniejszą powtarzalność wartości. Maskujemy bit znaku, dzielimy liczbę do zakresu $0 - 2$, a następnie odejmujemy ją od jedynki, by otrzymać przedział od -1 do 1 .

Wydruk 5.4.1. Prosty generator liczb pseudolosowych

```
float PRNG( int x)
{
    x = (x<<13)^x;

    int Prime1 = 15731;
    int Prime2 = 789221;
    int Prime3 = 1376312589;

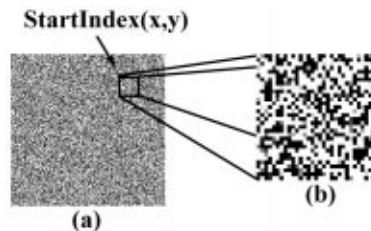
    return (1.0f - ((x * (x * x Prime1 + Prime2) + Prime3) & 7fffffff) / 1073741824.0)
}
```

W przypadkach, w których używamy kilku oktaw, możesz zwiększyć „losowość” generatora, tworząc tablicę liczb pierwszych i używając różnych wartości Prime1 i Prime2 w zależności od oktawy. Dla naszych celów wykorzystanie tylko jednego zestawu liczb pierwszych jest wystarczające.

Ponieważ chcemy zaimplementować generator w procesorze graficznym, który nie pozwala na wykonanie całego kodu z wydruku 5.4.1, utworzymy tablicę przeglądową tej funkcji jako mapę tekstury 512×512 . Wykorzystanie takiej mapy daje nam około 260 tysięcy wpisów, zanim funkcja zacznie się powtarzać. Wykorzystamy tę teksturę jako generator liczb losowych, kopiując fragmenty tej tekstury do docelowej tekstury i używając losowego przesunięcia współrzędnych tekstury wygenerowanego przez oprogramowanie. Przedstawia to rysunek 5.4.1. Kopiowanie wykorzystuje kartę graficzną, aby zrenderować na wielokacie losową teksturę ze źródłowej.

Rysunek 5.4.1.

- a) Tekstura stanowiąca tablicę przeglądową losowych liczb;
- b) Wygenerowana tekstura szumu 32×32



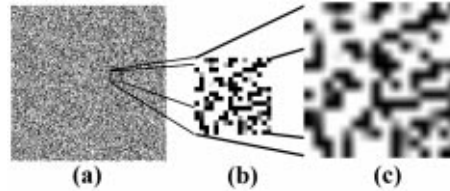
Szum o ograniczonej zmianie

Ken Perlin po raz pierwszy zastosował szum o ograniczonej zmianie jako metodę renderingu. Szum o ograniczonej zmianie jest ograniczony do pewnego zakresu częstotliwości, który można rozumieć jako maksymalną zmianę między próbkami. W naszym przypadku

oznacza to możliwość utworzenia losowych liczb z maksymalną zmianą między nimi, a co za tym idzie, gładką interpolację losowych próbek. Do interpolacji możemy wykorzystać filtrowanie dwuliniowe karty graficznej. W ten sposób pozbędziemy się składowych o wysokich częstotliwościach i uzyskamy gładkie, bardziej naturalne przejścia. Patrz rysunek 5.4.2.

Rysunek 5.4.2.

a) Próbkiwanie tekstury stanowiącej tablicę przeglądową losowych liczb w celu utworzenia tablicy szumu. b), c) Używając zwiększania próbkowania i filtrowania tworzymy szum o ograniczonej zmianie w docelowej rozdzielczości (docelowym zakresie częstotliwości)



Warto wspomnieć, że w pewnych przypadkach, wykorzystując szum do tworzenia proceduralnej zawartości, interpolacja dwuliniowa nie jest odpowiednia i trzeba skorzystać z lepszej metody filtrowania, by osiągnąć pożądany wynik. Na szczęście w tym przypadku niska jakość filtrowania dwuliniowego jest wystarczająca.

Utworzona w ten sposób tablica szumu daje nam pojedynczy podstawowy szum o danej częstotliwości. Będziemy go nazywać oktawą szumu, ponieważ w dalszej części rozdziału połączymy kilka oktaw (mnożenia o tej samej częstotliwości) razem. Najpierw jednak będziemy musieli zająć się animacją tablicy szumu.

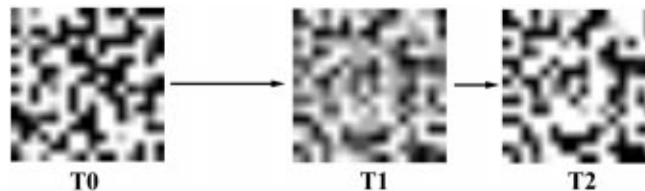
Animacja oktawy szumu

Jeśli chcemy animować oktawę szumu, pomyślmy o czasie jak o trzecim wymiarze, za pomocą którego możemy indeksować generator liczb losowych. Możemy to wykonać na karcie graficznej, co jakiś czas zapamiętując aktualny szum, tworząc nowy i interpolując między nimi od jednego uaktualnienia do drugiego. Szybkość uaktualnień tekstuury określa częstotliwość w trzecim wymiarze.

Interpolację przedstawia rysunek 5.4.3. Jest to jedyny przypadek, gdzie wykorzystanie interpolacji liniowej nie jest idealne, ponieważ szum jest bardziej „skupiony” w rzeczywistych punktach próbkowania. Jak się jednak za chwilę przekonasz, problem ten nie jest widoczny w końcowym efekcie, ale warto o nim pamiętać. Jeśli chcemy poświęcić wydajność rysowania, możemy obliczać oktawy dla wielu punktów w czasie i używać lepszej interpolacji w celu uzyskania lepszych wyników.

Rysunek 5.4.3.

Interpolacja między uaktualnieniami szumu w celu animacji oktawy. Wynik = $WcześniejszaAktualizacja * (1 - (T1 - T0)/(T2 - T0)) + NowaAktualizacja * (T1 - T0)/(T2 - T0)$. $T0$ to czas wcześniejszej aktualizacji, $T2$ to czas nowej aktualizacji, a $T1$ to aktualny czas między aktualizacjami



Sumowanie oktaw w celu utrzymania burzliwego szumu

Popularną metodą używaną przy tworzeniu proceduralnych tekstur jest sumowanie fraktalne, które polega na sumowaniu skalowanych harmonicznych podstawowej funkcji szumu. Z takiej operacji powstaje fraktal ruchu Browna, który jest bardzo popularny w wielu technikach renderingu, na przykład fraktalnego terenu i wielu typów proceduralnych tekstur. Sumę fraktalną przedstawia równanie 5.4.1. a określa sposób przechodzenia przez spektrum częstotliwości (a ma przeważnie wartość 2, czyli utrzymujemy f , $2f$, $4f$, ...), a b określa amplitudę dodawanego elementu z szeregu.

$$Szum(x) = \sum_{k=0}^{N-1} \frac{Szum(a^k x)}{b^k} \quad (5.4.1)$$

Na szczęście wartość 2 dla a jest zarówno powszechnie używana w generatorach proceduralnych tekstur, jak i dobrze obsługiwana przez sprzęt, ponieważ możemy po prostu zaimplementować oktawy szumu jako szereg map tekstur o rozmiarach będących kolejnymi potęgami 2.

Wartość 2 dla b także jest powszechnie używana i upraszcza naszą implementację. Złożenie oktaw szumu można wykonać, przeprowadzając kilka przebiegów renderingu z prostym mieszaniem (patrz pseudokod z wydruku 5.4.2).

Wydruk 5.4.2. Złożenie oktaw szumu

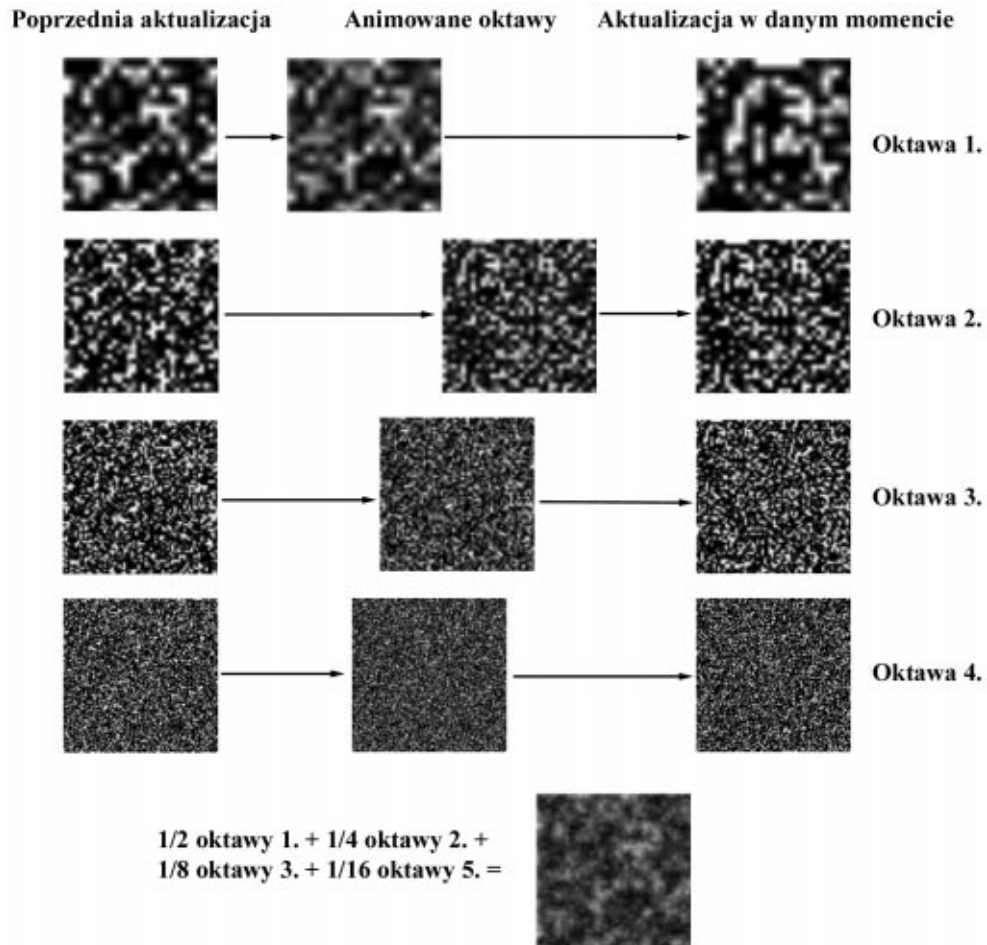
```
// Zauważ, że ScaleFactor ma za zadanie utrzymać wyniki w przedziale 0 - 1.  
// Zmienia więc {1 + 1/2 + 1/4 + ...} na {1/2 + 1/4 + ...}  
float ScaleFactor = 0.5  
float FractalSum = 0.0  
for i = 1 to NumOctaves  
{  
    FractalSum = FractalSum*0.5 + ScaleFactor * NoiseOctave(NumOctaves-i)  
}
```

Rysunek 5.4.4 przedstawia proces animacji różnych oktaw między aktualizacjami i łączenia ich w jedną teksturę burzliwego szumu.

Tworzenie chmur z pary

Mamy teraz mapę teksturę z animowanym szumem z turbulencjami i musimy wykonać kilka kroków, by przekształcić ją na chmury. Idealnie byłoby wykorzystać szum jako wejście pewnego rodzaju funkcji wykładniczej, uzyskując ostry „poziom skroplenia”, powyżej którego chmury są widoczne. Ponieważ jednak nie mamy dostępu do takiej operacji w procesorze grafiki, skorzystamy z innej metody. Istnieje kilka sposobów poradzenia sobie z sytuacją.

Najprostsze podejście to odejmowanie. Odejmujemy określoną wartość od tekstury i przycinamy wynik od dołu do 0. W ten sposób uzyskujemy pojedyncze chmury (patrz rysunek 5.4.5).



Rysunek 5.4.4. Połączenie kilku oktaw animowanego szumu

Rysunek 5.4.5.
Odejmowanie stałej wartości w celu otrzymania pojedynczych chmur



Niestety, w ten sposób tracimy część dynamicznego zakresu dla chmur, które pozostały. Możemy to skompensować, zwiększając nasycenie i mnożąc kolory wierzchołków. Tego sposobu używamy w przykładowym kodzie.

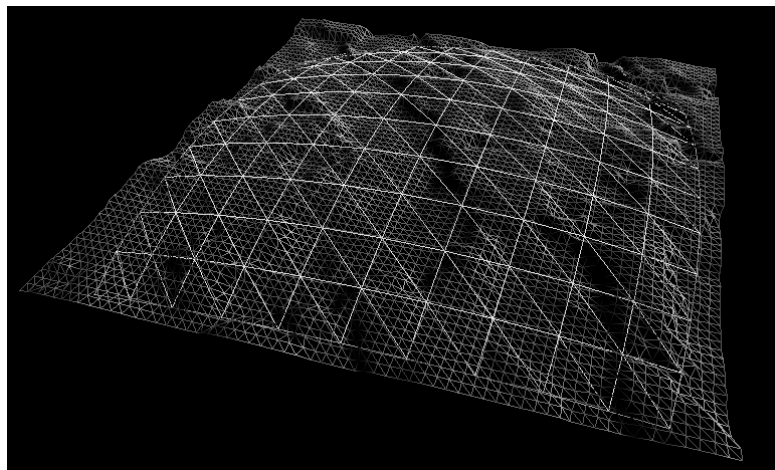
Inna metoda polega na dodaniu kanału krycia do wszystkich omawianych do tej pory warstw tekstur. Wykonamy tę samą operację odejmowania co wcześniej, ale na kanale krycia, a następnie wykorzystamy test krycia do zamaskowania niektórych regionów bez trwania dynamicznego zakresu. W tej metodzie pojawia się jednak inny rodzaj problemu. Ponieważ test krycia jest wykonywany przed filtrowaniem, pojawią się ostre krawędzie, jeśli nie skorzystamy z tekstury o naprawdę wysokiej rozdzielczości.

Jeszcze jedną metodą jest pewnego rodzaju przeglądanie tekstury, gdzie kolor tekstury wpływa na położenie, w którym teksel jest umieszczany w kolejnym etapie. Przykładem takiego zachowania może być tryb renderingu `BumpEnvMap` obsługiwany przez niektóre karty w bibliotece `DirectX`. W przyszłości, gdy więcej kart będzie obsługiwało ten tryb, stanie się możliwe zakodowanie wykładniczej funkcji w mapie tekstury i przeglądanie jej w celu otrzymania wyniku.

Mapowanie na geometrię nieba

Po przygotowaniu tekstury chmury z rysunku 5.4.5 możemy ją mapować na geometrię nieba. Wybór geometrii zależy od aplikacji. W przykładowym programie używamy tzw. płaszczyzny nieba, która jest po prostu prostokątną siatką trójkątów z wierzchołkami przesuniętymi tak, że stanowią wycinek kuli. Wyobraź to sobie jak rzucenie skrawka płachty na powierzchnię piłki plażowej. Nie jest to idealne rozwiązanie, ale mapowanie tekstury jest proste. Płaszczyznę nieba przedstawia rysunek 5.4.6.

Rysunek 5.4.6.
Geometria terenu i płaszczyzna nieba używana dla tekstury nieba



Dodatkowe funkcje

W tym momencie możemy wykonać wiele rzeczy z chmurami, w zależności od tego, jak wiele czasu procesora i karty graficznej możemy na to poświęcić. Kilka z tych propozycji zostało zaimplementowanych w przykładowym kodzie; pozostałe to propozycje dalszych usprawnień dla Twoich implementacji. Oto kilka funkcji, które możesz dodać:

- Sterowany szumem kierunek wiatru i zachmurzenie. Pewne interesujące wyniki można uzyskać, korzystając z innych funkcji szumu do modyfikacji pozostałych zmiennych w czasie, więc na przykład wiatr może zmieniać kierunek, a poziom chmur obniżać się i podwyższać w ciągu kilku godzin lub dni.
- Wyłaczać chmury, dodając wrażenie trójwymiarowości. Wymaga to jednak dodatkowego przebiegu i pewnych modyfikacji w wartościach UV wierzchołków. Wierzchołkom dodajemy drugi zbiór współrzędnych tekstury przesuwanych w zależności od kierunku słońca. Chmury są ciemniejsze po stronie przeciwnej do słońca, a jaśniejsze po tej samej.

- Chmury mogą rzucać cień na ziemię. Wystarczy użyć wynikowej tekstury z mieszaniami odejmującym. Teren musi posiadać inny zestaw współrzędnych tekstury lub używać rzutowania tekstury.
- Modyfikować oświetlenie i (lub) intensywność efektu soczewki (*lens flare*). Ponieważ wiemy, jak tekstura jest mapowana na geometrię i znamy kąt nachylenia słońca, możemy policzyć dokładnie teksele lub grupę teksele, które znajdują się na linii widoczności względem słońca. Możemy w ten sposób zmniejszać oświetlenie terenu lub czasowo wyłączać efekt soczewki. Zauważ, że modyfikacja oświetlenia spowodowana większym zachmurzeniem zmniejsza intensywność światła kierunkowego słońca, ale zwiększa oświetlenie ogólne, ponieważ chmury rozpraszają promienie słońca we wszystkich kierunkach.

Ograniczenia sprzętowe

Pozwolenie karcie graficznej na przeprowadzenie większości operacji w tej technice umożliwia osiągnięcie większej wydajności niż w przypadku, w którym musielibyśmy ręcznie blokować i modyfikować teksturę w każdej klatce. Niestety, takie podejście ma także wady. Oto one:

- **Obsługa renderingu do tekstury.** Metoda przedstawiona w tym rozdziale intensywnie korzysta z tej funkcji. Niestety, obsługa tej funkcji nie występuje we wszystkich kartach graficznych. Wykrywanie obsługi staje się łatwiejsze przy nowoczesnych interfejsach programistycznych, ale nadal nie jest pewne. W przypadkach, gdy rendering do tekstury nie jest obsługiwany, można skorzystać z kopiowania bufora ramki do tekstury, ale prawdopodobnie ucierpi na tym wydajność.
- **Ograniczona precyzja.** Aktualnie istniejący sprzęt graficzny przechowuje tekstury i renderuje docelowe wartości jako liczby całkowite, przeważnie 16 lub 32 bity na piksel. Ponieważ w zasadzie działamy na skali szarości, jesteśmy ograniczeni do 8 bitów na piksel, a w najgorszym przypadku do 4! Ta druga wartość jest bardzo mała, więc na pewno pojawią się błędy. Zauważ, że oznacza to, że oktawy o wysokiej częstotliwości z tego powodu dodają tylko kilka bitów do końcowego wyniku.
- **Ograniczony dynamiczny zakres.** Ponieważ liczby całkowite muszą reprezentować dane z zakresu 0 – 1, jesteśmy zmuszeni wcześniej przeskalować i przesunąć te wartości do odpowiedniego zakresu. Ponieważ nasza funkcja szumu zwraca wartości w przedziale od –1 do 1, musimy je zmodyfikować, by uzyskać pożądaną zakres. Jest to dodatkowa praca, która powiększa błędy spowodowane przez ograniczoną precyzję.
- **Ograniczone możliwości i polecenia procesora grafiki.** Ubogie w instrukcje procesory grafiki ograniczają nas co do tego, co możemy zrobić. Dobrze byłoby prowadzić zaburzoną teksturę szumu do funkcji potęgowej, na przykład wykładniczej, ale jesteśmy ograniczeni do prostych operacji arytmetycznych. Poza tym intensywnie wykorzystujemy rendering do tekstury, który nie jest dostępny na wszystkich kartach graficznych. Ponieważ jest pewne, że w przyszłości karty graficzne będą bardziej zaawansowane, będziemy mieli mniej problemów.

Uzyskiwanie większej uniwersalności

Jeśli chcemy skorzystać z tej techniki w komercyjnym projekcie, a docelową platformą jest komputer klasy PC (gdzie wydajność może się znacznie różnić), musimy zastanowić się nad uniwersalnością tego rozwiązania. Nawet jeśli docelowa platforma jest stała, ale inne elementy gry wymagają większej uwagi, musimy mieć możliwość zmiany wydajności kosztem jakości dla takich przypadków.

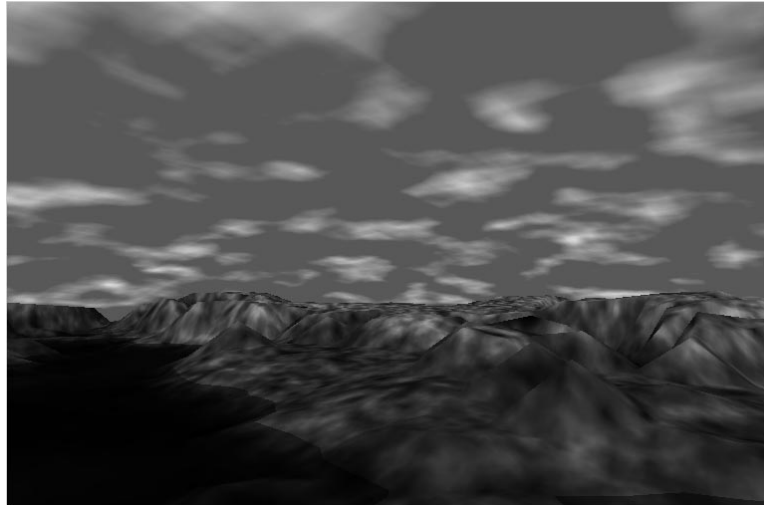
Oto kilka sposobów na modyfikację wydajności przedstawionej metody:

- **Rozdzielczość tekstury.** Rozdzielczość tekstury na różnych pośrednich etapach można zmniejszyć, oszczędzając na pamięci i szybkości wypełniania trójkątów. Zauważ, że nie chcemy zmniejszać głębi kolorów, ponieważ przy 16 bitach na kolor jakość drastycznie spada.
- **Częstość aktualizacji tekstury.** Nie każda tekstura musi być aktualizowana w każdej klatce. Szczególnie gdy szybkość symulacji nie jest duża, można zrezygnować z aktualizacji w każdej klatce przedstawionej w przykładowym kodzie.
- **Liczba używanych oktaw.** Przykładowy kod używa czterech oktaw szumu, ale nawet trzy zapewniają dosyć dobre wyniki. Na bardzo szybkich systemach można skorzystać z pięciu oktaw, by podnieść jakość grafiki.

Wnioski

Rysunek 5.4.7 przedstawia wynikowe proceduralne chmury w przykładowym programie.

Rysunek 5.4.7.
Wynik przykładowego programu tworzącego proceduralne chmury



Mamy nadzieję, że ten rozdział przybliżył Ci nieco techniki tworzenia proceduralnych tekstur na przykładzie chmur oraz metody zrzucenia większości obliczeń na procesor karty graficznej.

Sprzęt graficzny staje się coraz szybszy i powoli możemy generować proceduralne tekstury w czasie rzeczywistym. Mamy nadzieję, że wyniki własnych eksperymentów przedstawisz społeczności twórców gier.

Bibliografia

[Ebert98] Ebert D. S. i inni: *Texturing and Modeling: A Procedural Approach*, AP Professional Inc., 1999.

[Elias99] Elias H.: *Cloud Cover*, dostępne w witrynie http://freespace.virgin.net/hugo.elias/models/m_clouds.htm, zawiera czysto programową metodę podobną do przedstawionej tutaj.

[Pallister99] Pallister K.: *Rendering to Texture Surface Using DirectX 7*, dostępne w witrynie www.gamasutra.com/features/19991112/pallister_01.htm.